

# Fahrraumdatenerfassung

Erkennung und Positionierung von Verkehrszeichen

Vortrag von Dominik Wetzel

zum Projekt

„Mess- und Testfahrzeug zur Aufnahme von Basisdaten für die Sicherheitsüberprüfung von Straßen und das autonome Fahren“



Westsächsische Hochschule Zwickau

University of Applied Sciences

# Inhalt

- Projektüberblick
- Algorithmen
  - Segmentierung
  - Formerkennung
  - Stereo Vision
- Softwaresystem
- Diskussion

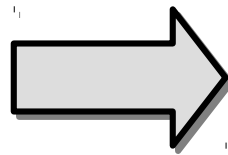
# Projektüberblick

# Fahrraumdatenerfassung

- Strecke abfahren
- Daten aufnehmen
- Daten auswerten
- 3D-Modell erstellen (für Simulator)



Quelle: Hendrik Weiß



Quelle: Fahr Simulator

# Beteiligte

**Informatik**  
Drohne und Daten-  
zusammenführung

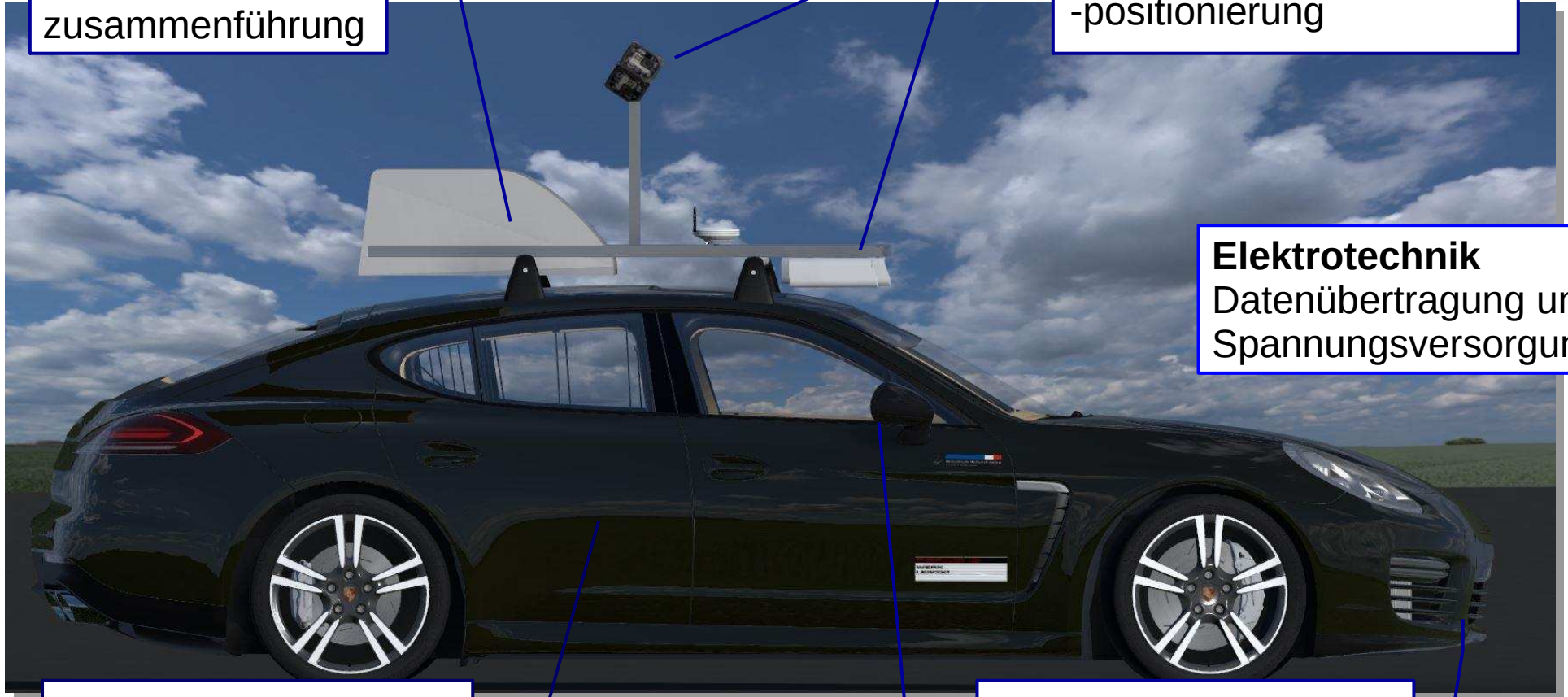
**Mathematik**  
Objekterkennung und  
-positionierung

**Elektrotechnik**  
Datenübertragung und  
Spannungsversorgung

**Kraftfahrzeugtechnik**  
Fahrzeugaufbau und  
Streckenmodellierung

**Physikalische Technik**  
Querneigung und  
Straßenbreite

Quelle: Ronny Häupl



# Aufgabe

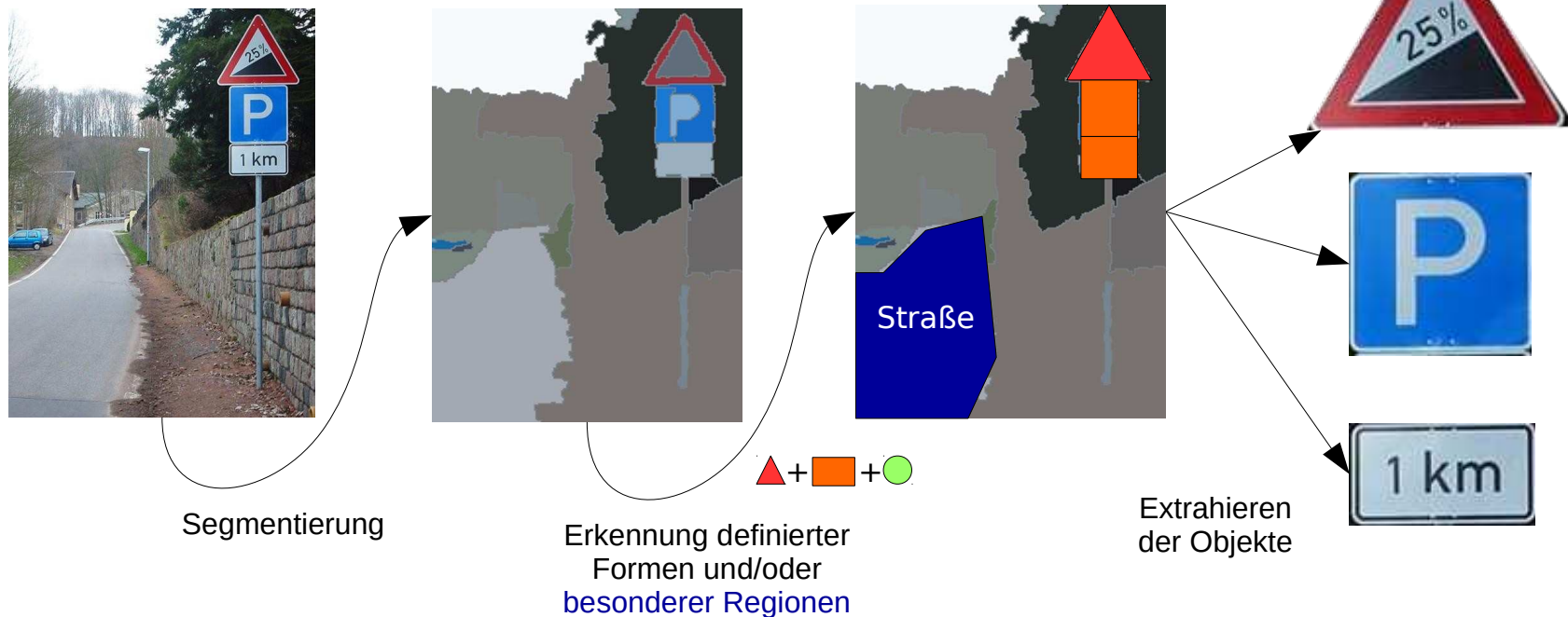
- Erkennen fahrraumprägender Objekte
  - Verkehrszeichen
  - Leitplanken
  - Leitpfosten
- Positionierung relativ zum Fahrzeug
  - X,Y,Z – Koordinaten (in m)
- Extraktion Bilddaten

# Algorithmen

# Geplanter Ablauf

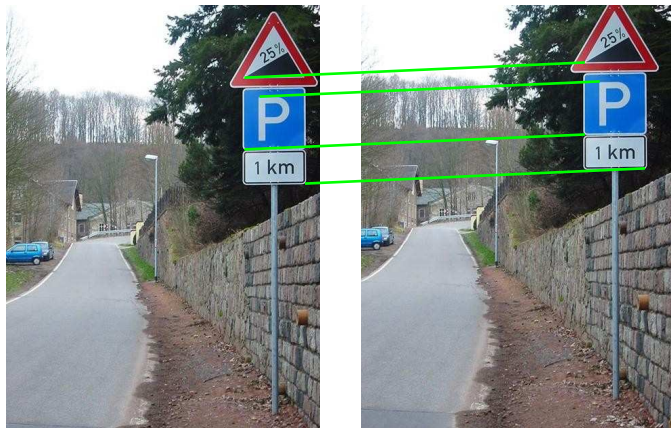
- Kameraeinstellung & -kalibrierung → Aufnahme
- Segmentierung → Geometrie → Extraktion →

Originalbild (Quelle: [https://www.wohnmobilforum.de/files/kriebstein\\_171.jpg](https://www.wohnmobilforum.de/files/kriebstein_171.jpg))

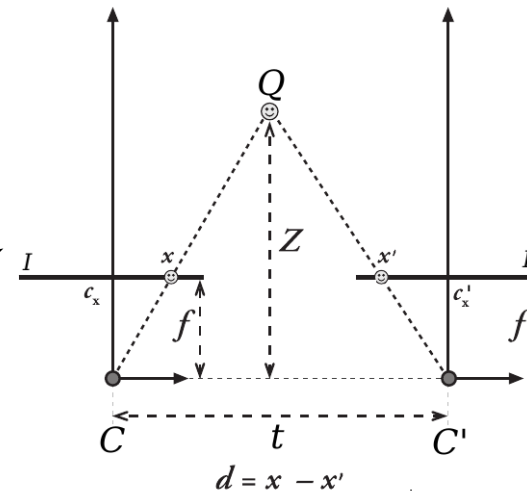


# Geplanter Ablauf

Korrespondenzen → Triangulierung → Position



Markante Punkte und  
Korrespondenzen finden



Quelle: Learning OpenCV, S. 208

Position mittels  
Triangulation berechnen

oberster Punkt:  
X = 1,2m  
Y = 2,5m  
Z = 2,0m

# Segmentierung

- Allgemein
- Farbsegmentierung
- ROI-Erkennung

# Allgemein

- komplettes Bild in Segmente aufteilen
  - SLIC, Superpixel, Liniendetektion
  - Problem: Laufzeit, unwichtige Bereiche, weiteres Vorgehen trotzdem nötig
- Farbsegmentierung
  - nur Bereiche von Interesse → Schwellwert
  - anschließend „Region of Interest“ (ROI) Erkennung



# Farbsegmentierung

- RGB-Farbraum

- visuelles Empfinden (Maschinentauglich)
- Farbtönen ändern alle Kanäle
- Normierung:

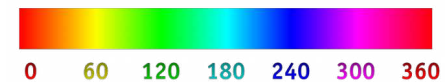
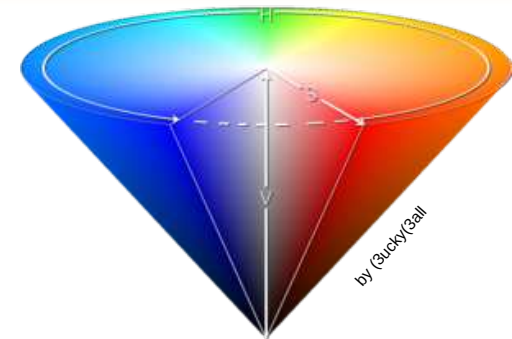
$$\forall C_{x,y} \in I \wedge C \in \{R, G, B\} : \frac{C_{x,y}}{\sqrt{R_{x,y}^2 + G_{x,y}^2 + B_{x,y}^2}}$$

- nicht erfolgreich

# Farbsegmentierung

- HSV-Raum

- visuellem Empfinden näher
- Erfahrungswerte?



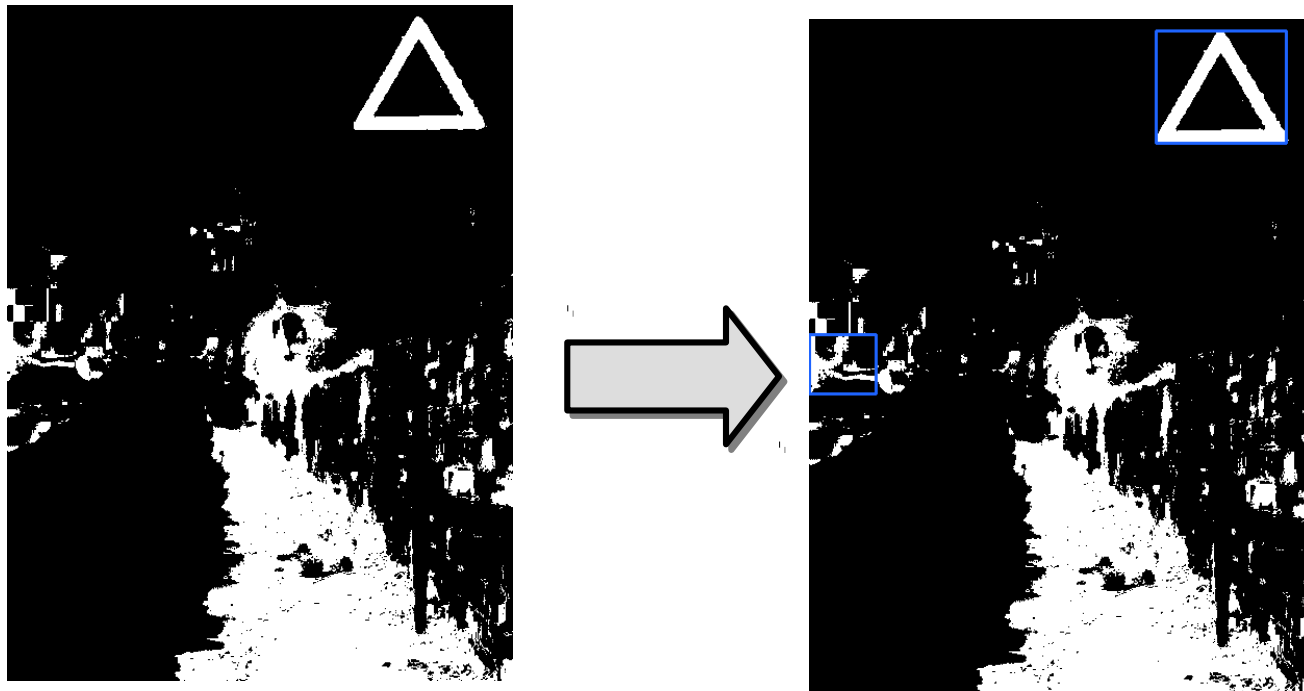
Quelle: Wikipedia

- Common Vision Blox Color

- nutzt CIE-Lab-Raum
- lernt Farbmodell mit  $\emptyset$ , *min*- & *max*-Distanz
- Filter  $\rightarrow Distanz < S \cdot (\max - \min) + \min$   
( $S$  = Schwellwert)

# ROI-Erkennung

- nach Farbsegmentierung:



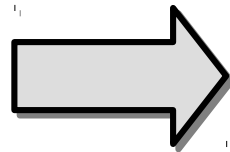
(Parameter: max Fläche, min H, min B, Verhältnis +/- Abweichung)

# Formerkennung

- Allgemein
- Korrelation
- Gradienten-Verfahren
- Kaskade

# Allgemein

- ROIs klassifizieren

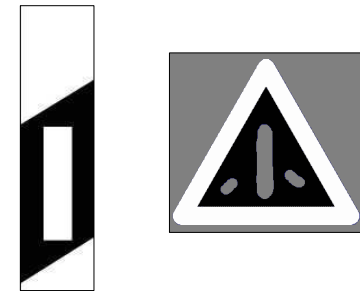


Dreieck aufwärts  
→ Gefahrenzeichen

nichts

# Korrelation (Template)

- Template über Bild schieben
- Template auf ROI anwenden
- Matlab (normxcorr2):



$$\gamma(u, v) = \frac{\sum_{x,y} [I(x, y) - \bar{I}_{u,v}] [t(x - u, y - v) - \bar{t}]}{\sqrt{\sum_{x,y} [I(x, y) - \bar{I}_{u,v}]^2 \sum_{x,y} [t(x - u, y - v) - \bar{t}]^2}}$$

$I$  = Bild,  $\bar{t}$  = Mittelwert Template,  
 $\bar{I}_{u,v}$  = Mittelwert von  $I(x, y)$  in der Region unter Template

Quelle: <http://de.mathworks.com/help/images/ref/normxcorr2.html>

# Korrelation (Template)

- eigene Implementierung:

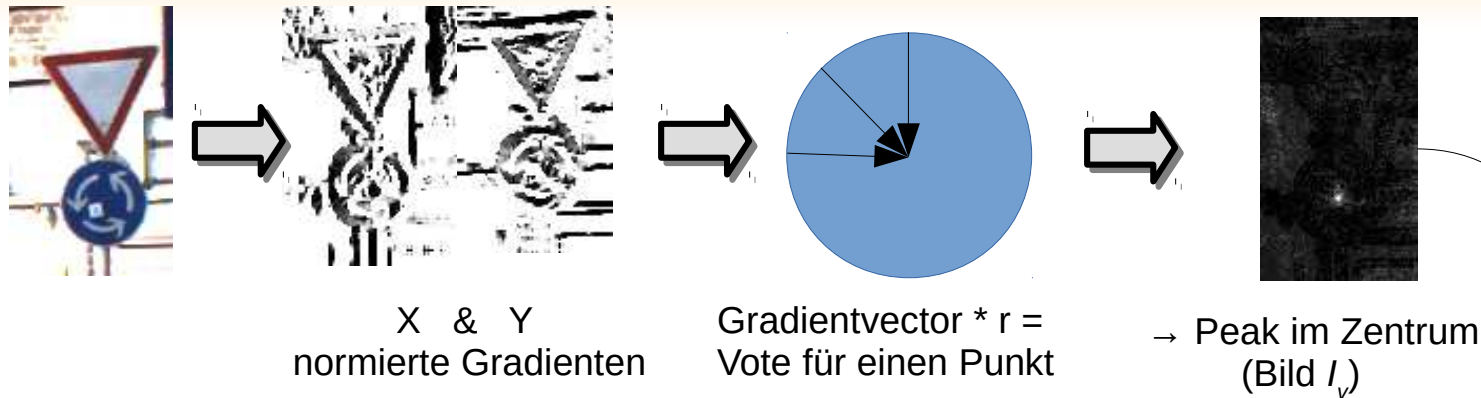
$$\gamma = \frac{\sum_{x,y} (I_{\text{weiß}}(x,y) \cdot \omega + I_{\text{schwarz}}(x,y))}{\sum_{x,y} (t_{\text{weiß}}(x,y) \cdot \omega + t_{\text{schwarz}}(x,y))}$$

$$I_c(x,y) = \begin{cases} 1 & \text{falls } I(x,y) = c \wedge t(x,y) = c \\ 0 & \text{sonst} \end{cases}$$

$$t_c(x,y) = \begin{cases} 1 & \text{falls } t(x,y) = c \\ 0 & \text{sonst} \end{cases}$$

$c \in \{\text{weiß}, \text{schwarz}\}, \omega = \text{Gewicht}$

# Gradienten-Verfahren



- Erkennung Peak:

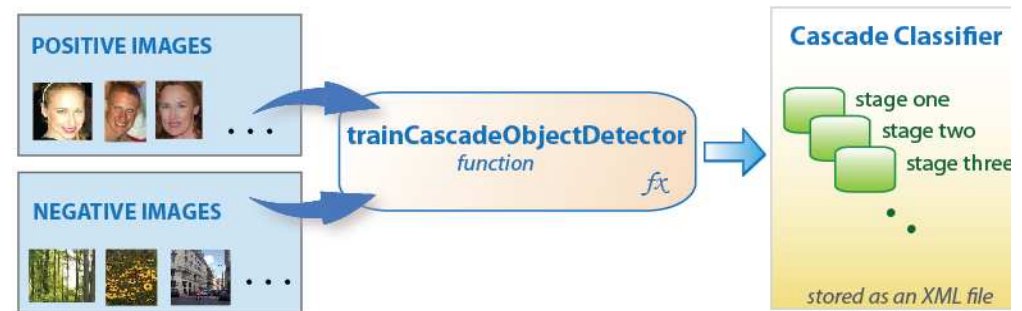
- Skalieren auf 255 Grauwerte ( $I_{vs}$ )
- $(\max(I_{vs}) - s(I_{vs})) / \bar{I}_{vs} > S$
- Problem  $S$  nicht normiert.



- Erweiterbar für gleichmäßige Polygone

# Kaskade

- Anlernen von Objekten
  - Positiv Bilder mit ROI von Objekt
  - Negative Bilder ohne Objekt
  - Berechnen von Features (LBP, HOG, Haar-Like)
- Verschiedene Schichten (Stages)
  - Äußere Schicht, grob
  - innere Schicht, fein



Quelle: <http://de.mathworks.com/help/vision/ug/train-a-cascade-object-detector.html>

# Kaskade

- Ausführung:
  - Descriptor für Stage läuft über Bild
  - Je Position:
    - Objekt nicht gefunden → nächste Position
    - Objekt gefunden → ROI in nächste Stage geben → nächste Position
  - Descriptor für nächste Stage verwenden → auf ROIs vorheriger Stage wiederholen
- Verwendung z.B. für Stoppschild

# Stereo Vision

- Allgemein
- Intrinsische und exterinsische Parameter
- Kamerakalibrierung
- Punktkorrespondenzen
- Rektifizierung + Positionsbestimmung

# Allgemein

- 2 oder mehr Kameras
- Berechnung der Tiefeninformation
- dazu:
  - kalibrierte Kameras  
(Intrinsische Parameter)
  - Position Kameras zueinander  
(Extrinsische Parameter)
  - Punktkorrespondenzen in Bildern



Quelle: [http://www.gravitram.com/digital\\_stereo\\_rig.htm](http://www.gravitram.com/digital_stereo_rig.htm)

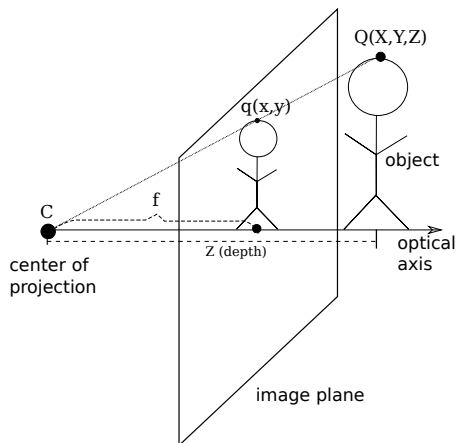
$K, dist$

$R|t$

$p, p'$

# Intrinsische Parameter

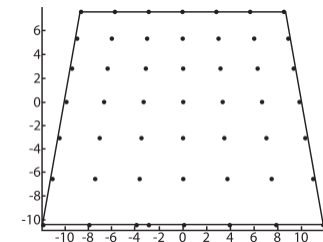
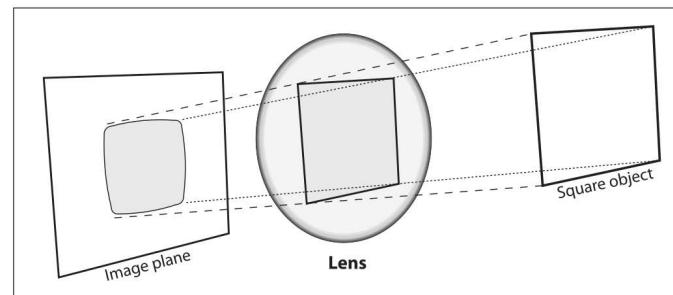
- Lochkammermodell erweitert um Verzerrungen
- $K$  und Verzerrungskoeffizienten (dist)



$$q = K \cdot \tilde{Q}, K = \begin{bmatrix} f_x & 0 & c_x \\ 0 & f_y & c_y \\ 0 & 0 & 1 \end{bmatrix}, q = \begin{bmatrix} x \\ y \\ w \end{bmatrix}, \tilde{Q} = \begin{bmatrix} X \\ Y \\ Z \end{bmatrix}$$

Quelle: Masterarbeit, Wetzel S.5

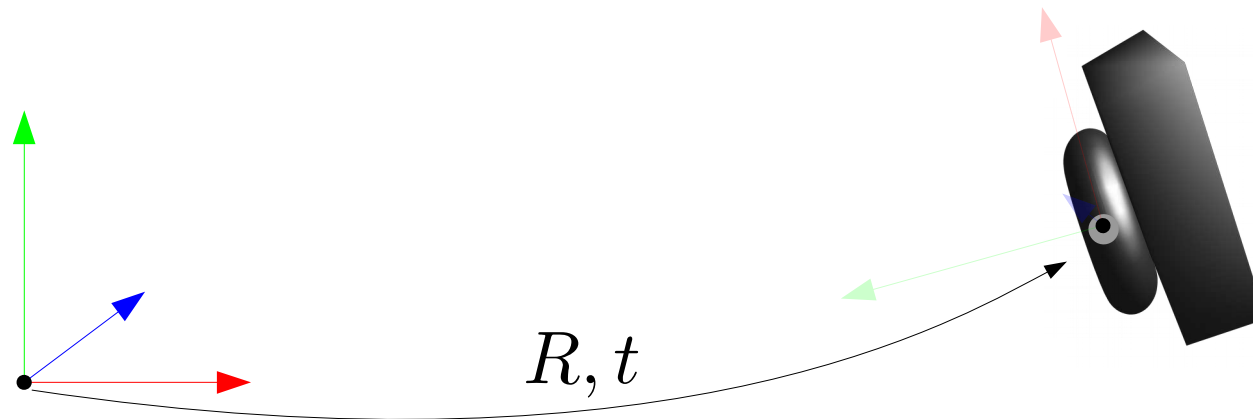
$$dist = \{k_1, k_2, k_3, p_1, p_2\}$$



Quelle: Learning OpenCV, S. 376f

# Extrinsische Parameter

- Rotation und Translation von Koordinatenursprung

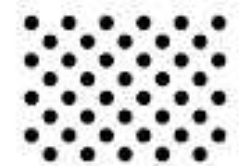
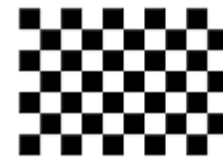


$$R = R_x R_y R_z, t = [t_x, t_y, t_z]^T$$

$$R = [r_1, r_2, r_3], r_{i \in \{1,2,3\}} = [r_{1,i}, r_{2,i}, r_{3,i}]^T$$

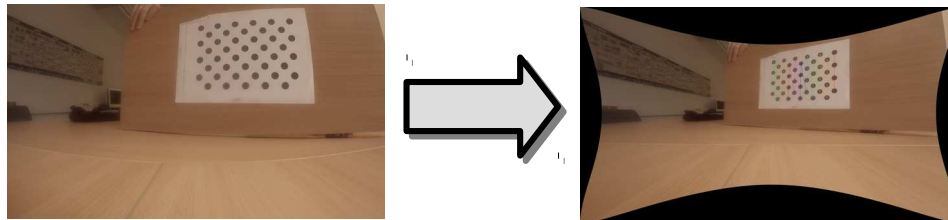
# Kamerakalibrierung

- Unbekannte:
  - 4 Intrinsisch ( $f_x, f_y, c_x, c_y$ )
  - 5 Verzerrung ( $k_1, k_2, k_3, p_1, p_2$ )
  - je Bild 6 Extrinsisch ( $r_1, r_2, r_3, t_x, t_y, t_z$ )
- Kalibrierungsmuster:
  - Bedingungen = 2 \* Punkte \* Bilder
  - möglichst viel Bewegung
  - kompletten Sichtbereich



# Kamerakalibrierung

- Entzerrung

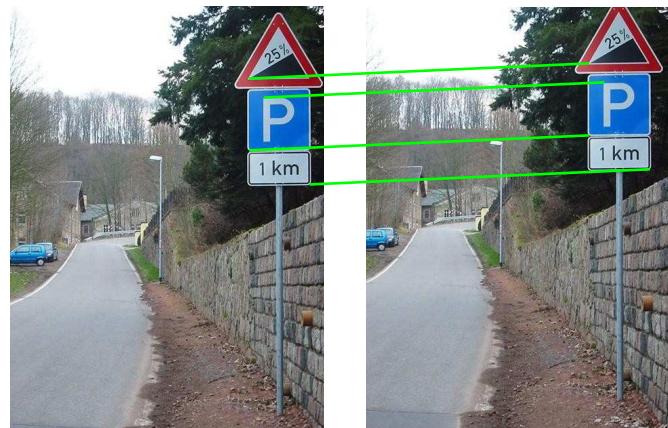


- Stereokalibrierung

- Einzelkalibrierung
- berechnet  $R|t$  für Kameras untereinander
- Neuberechnung nach Positionsänderung
- Erlaubt metrische Positionsbestimmung

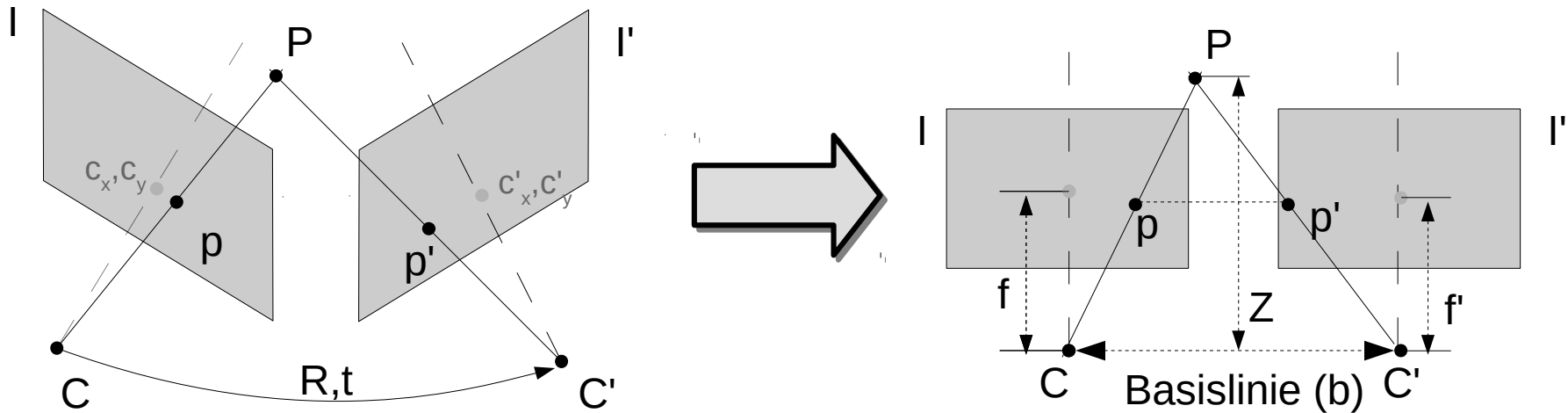
# Punktkorrespondenzen

- Gleiche Punkte in 2 Bildern
- Zentrum der gefundenen Objekte
- SIFT, ASIFT, ORB ...



# Rektifizierung

- Bildebenen transformieren
- Berechnung Reprojektionsmatrix  $Q$



- Disparität  $d = p_x - p'_x$

# Positionsbestimmung

- Rektifiziert:

$$Z' = \frac{f \cdot b}{d}$$

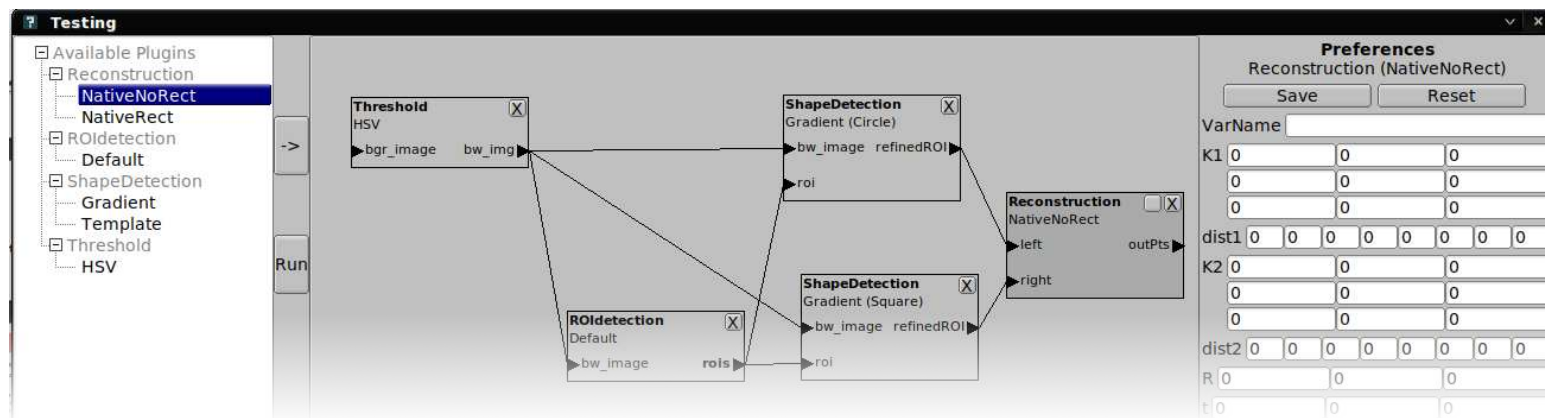
$$\begin{bmatrix} X \\ Y \\ Z \\ W \end{bmatrix} = Q \begin{bmatrix} x \\ y \\ d \\ 1 \end{bmatrix}, Q = \begin{bmatrix} 1 & 0 & 0 & -c_x \\ 0 & 1 & 0 & -c_y \\ 0 & 0 & 0 & f \\ 0 & 0 & 1/b & -(c_x - c'_x)/b \end{bmatrix}$$

Quelle: Learning OpenCV, S. 435

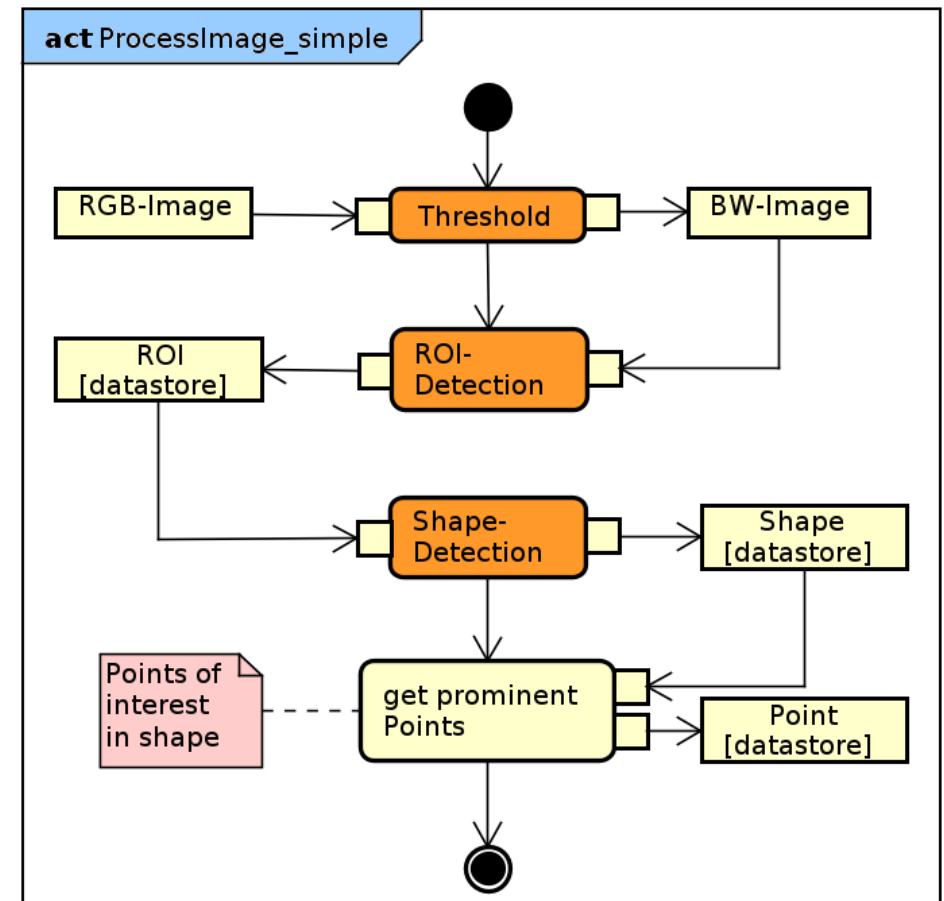
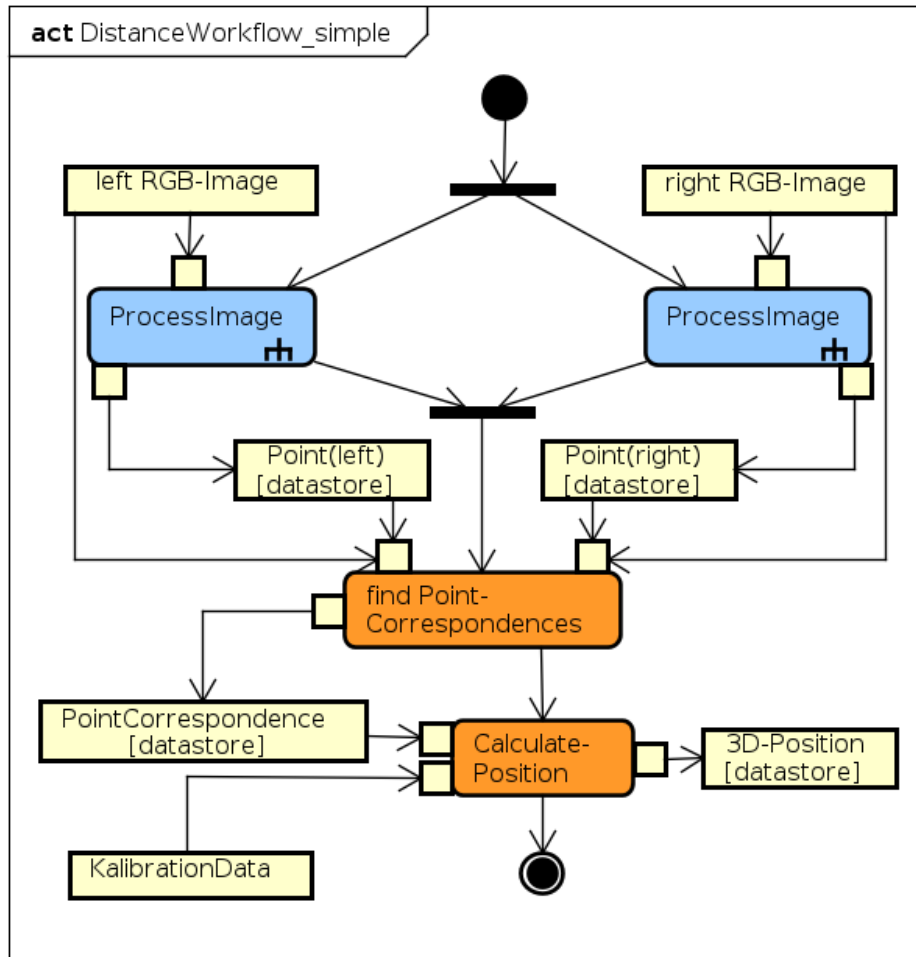
# Softwaresystem

# Modularisierung

- Einzelne Algorithmen als Module
- GUI-Frontend um Module einzustellen und zu verknüpfen (wie Simulink)
- Ermöglicht Erweiterung und Austausch von Algorithmen

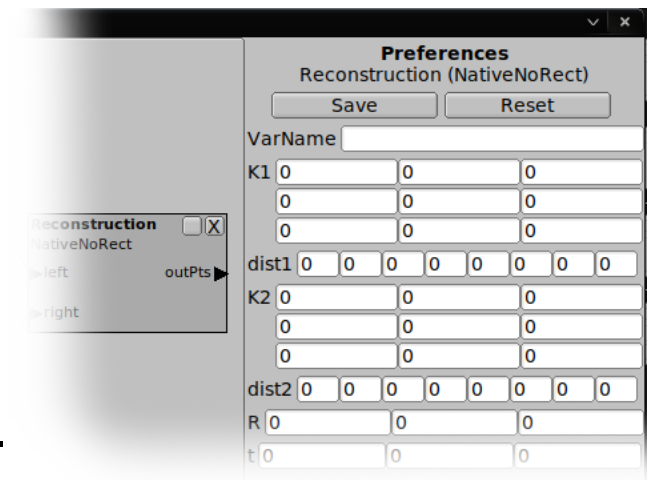


# Module (orange)



# Datenmodell

- einfaches Datenmodell zur Typübertragung für Input-, Output- und Konfigurationsparameter
  - F → Datei (File) bzw. Zeichenkette
  - M → Matrix oder Bild
  - D → Zahlen (double)
- Größenangabe möglich:
  - z. B.: D4, M3x3, M3  
→ dynamisches Konfigurationspanel



# Datenmodell

- Konfigurationen speichern/laden
- JSON-Dateien (Hauptdatei + Ordner)
- Format:

Hauptdatei.json:

```
{
  "Instances": [
    [
      <PluginName>, <Konfig.json>,
      <Pos x>. <Pos y>
    ], ...]
  ,
  "Connections": [
    [
      [<InPluginNr>, <ParamNr>],
      [<OutPluginNr>, <ParamNr>]
    ], ...]
}
```

Hauptdatei/Konfig.json

```
{
  "Params": [
    "z.B. String",
    [ [ <double>, <double> ] ],
    ...
  ],
  "VarName": <Name>
}
```

# Diskussion

Vielen Dank für Ihre Aufmerksamkeit.

# Quellen

- G. Bradski, A. Kaehler, *“Learning OpenCV – Computer Vision with the OpenCV Library“*, 2008
- D. Wetzel, *“Master Thesis – Enhanced depth estimation for 'freehand stereo' using PatchMatch Stereo“*, 2015
- Internetquellen (*besucht 19.09.2016*)
  - <https://de.wikipedia.org/wiki/HSV-Farbraum>
  - <http://de.mathworks.com/help/vision/ug/train-a-cascade-object-detector.html>
  - [https://www.wohnmobilforum.de/files/kriebstein\\_171.jpg](https://www.wohnmobilforum.de/files/kriebstein_171.jpg)
  - <http://de.mathworks.com/help/images/ref/normxcorr2.html>
  - [http://www.gravitram.com/digital\\_stereo\\_rig.htm](http://www.gravitram.com/digital_stereo_rig.htm)